

# 光测弹性力学译文集

科学出版社

## 內容簡介

本文集收集了俄文及英文文献中有关三向光測彈性力学方面的十篇論文，其中有方法和理論方面的研究成果，也有模型材料和应用方面的研究結果。

## 光測彈性力学译文集

天津大学材料力学教研室編譯

\*

科 学 出 版 社 出 版

北京朝阳門大街 117 号

北京市书刊出版业营业許可證出字第 061 号

上海市印刷六厂印刷

新华书店北京发行所发行 各地新华书店經售

\*

1964 年 12 月 第一 版

开本：850×1168 1/32

1964 年 12 月第一次印刷

印張：7

印数：0001—4,250

字数：182,000

统一书号：13031·1990

本社书号：3062·13-1

定价：[科七] 1.20 元

## 譯者序

近年来我国实验应力分析的研究工作得到了迅速的发展，并且已取得了很大的成绩，特别是应力分析的光弹性方法在工程实践中已得到广泛的应用。许多高等院校和研究机关都已建立了实验设备并且掌握了实验方法。但是，三向光测弹性力学研究还不十分成熟，所以有必要介绍一些国外的文献，以供有关的研究工作者参考。

这本译文集收集了俄文及英文文献中有关三向光测弹性力学方面的十篇论文。其中有些是方法和理论方面的研究成果，有些是模型材料和应用方面的研究结果。

第一篇介绍苏联机械研究所新采用  $\Theta\Delta6-M$  材料制造模型的问题。第二篇是关于现有三向光测材料的综合评论，也涉及到用这些材料研究弹性及塑性等方面的问题。

第三篇到第八篇讲述三向方法和理论问题。其中包括冻结法，三向剪应力差法，确定有效应力和最大剪应力的立方体法，确定主应力方向的万能旋转台的使用，散光法以及用立体模型研究应力的理论等问题。

第九篇是冻结法在动载荷中的应用。第十篇讨论用橡皮模型研究有限变形下的应力问题。

本文集可供力学工作者和机械、土建、水利等强度研究人员，工程技术设计人员和高等院校教师参考之用。

参加本文集翻译工作的有贾有权（第五篇）；苏翼林（第四、七、八、九篇）；高端亭（第一、三、十篇）；张守鑫（第二篇）；杨庆龄（第六篇）。并经贾有权及苏翼林最后校阅。

由于译者水平有限，译文可能有错误之处，希读者多多予以指正。

天津大学材料力学教研室

ABG65/906

## 目 录

譯者序 .....	( iii )
由新的光学灵敏材料 ӘД6-М 所制的用于偏振光法研究应 力的模型 .....	Н. И. 普利高劳夫斯基, А. К. 普萊斯, М. Ф. 鮑克什坚, Н. А. 庫波勒雅考娃 ( 1 )
平面与空間模型的有光学效应的透明材料 .....	Н. И. 普利高劳夫斯基 ( 33 )
用“冻结”法确定应力 .....	А. К. 普萊斯 ( 46 )
三向光弹性应力分析的普遍方法的特殊研究 .....	М. М. 弗罗赫特, R. 吉印賽, Jr. ( 76 )
从光弹性模型中取立方体来确定有效应力及最大切应力 .....	J. S. 布洛克 ( 110 )
在三向光弹性模型的一点上确定主应力差 .....	Н. Т. 吉沙普, М. К. 威尔斯 ( 120 )
用散光法研究应力 .....	М. Ф. 鮑克什坚 ( 131 )
在立体模型中研究应力的问题 .....	В. М. 普勒士卡 ( 183 )
应用“冻结”法确定旋转模型的应力 .....	А. К. 普萊斯, Φ. А. 哥拉宁柯 ( 190 )
橡皮在有限变形下的应力研究 .....	Г. И. 菲利德曼 ( 203 )

# 由新的光学灵敏材料 ЭД6-М 所制的用于 偏振光法研究应力的模型

Н. И. 普利高劳夫斯基 A. K. 普恭斯

М. Ф. 鲍克什坚 H. A. 库波勒雅娃

研究平面及立体透明模型应力的偏振光方法的广泛采用，目前还受到制造光学灵敏材料的复杂性的限制<sup>[1-3]</sup>。由于采用了以环氧树脂 ЭД-6 为基的新材料来制造模型就消除了这个限制。环氧树脂 ЭД-6 是由莫斯科塑料研究所制成的，并且目前已在苏联进行生产。

环氧树脂 ЭД-6<sup>[10]</sup> 是适合做透明模型的。用失水苹果酸酐作为硬化剂，其用量为树脂重量的 30%，所得到的光学灵敏材料以牌号 ЭД6-М 来表示。

其他牌号的环氧树脂也曾应用过。树脂 Э-40 与 ЭД-6 类似，也可作为光学灵敏材料的成份。这种材料以牌号 Э40-М 来表示。树脂 ЭД-5 在硬化时加入 30% 失水苹果酸酐，所得到的材料有较低的“质量系数”。故它需用 35% 的失水苹果酸酐来硬化。这时所得的光学灵敏材料以牌号 ЭД5-М 来表示。

## 平板、块体的制造及成型铸造

**模型的模子** 树脂应在模子中硬化，模子要作成所需的模型尺寸及外形。

图 1 给出了铸造材料的标准模子的草图。造平板的模子（图 1, a）是可以拆卸的。为了使板子具有光学平滑的表面，应按光学上的要求来磨模子壁。使用包有铜表皮的抛光钢板作为模子壁也可以。只使用一次时，可以利用高级玻璃作为平面模子的表面。在模子的侧壁和下壁装置已校准的垫层；为了封闭，应在模子的三

面糊紙。

矩形和圓柱形的模子，最简单的是用白鐵皮焊制，在各边留有5—10毫米的余量，为了使作好的块体容易脫模，可使模子的下部略小(图1, 6及8)，但經驗表明，这并不是必須的，尤其是对于大模型，因为材料在硬化时有些收縮，使块体自然与模子脱开了。

鑄型能节约材料和加工时间。在比較突然的轉变处，对于真实尺寸而言，在边上至少应当留有5毫米余量。模子外壁可以用白鐵皮制成。若在鑄型时希望有腔膛，模子的内壁应作得具有彈性，因为在硬化时由于材料的收縮将发生很大的內应力，使块体可能开裂。

在图1, 6, 8上所示的模子能很好地鑄造筒形和杯形的块体。内壁用鐵皮作出柔順的橫条，蒙上厚紙(δ)或海綿橡皮(ε)以保証内壁的彈性，或者蒙上一种白鐵皮作骨干的橡皮管也可以。对所有的情形，内壁都要敷上一层三乙酸甘油脂薄膜，树脂并不与此膜粘結。薄膜的接縫可用三乙酸甘油脂溶于丙酮的溶液来作成严密的迭接縫。为了更可靠起見，可用两层这种薄膜相互套起。为了使模子内壁与底部紧密連接，可在模子内涂一层約5毫米厚的伯醇胶。經過一昼夜后此胶即变硬。

当制造的块体或模型具有内腔，而此内腔难以进行加工时(图1, i)，澆鑄之前将相等重量的硝酸鉀和硝酸鈉的鑄块固定在需要的位置，在树脂硬化后硝酸鉀和硝酸鈉的鑄块极易被水溶解。

为了提高鑄块的强度可以用細金属絲加强。

因为环氧树脂与可以作模子的許多材料(玻璃、金属、木材)具有很强的粘着性，故模子壁應該經過專門处理以使制成的材料容易脫模。

处理金属模子壁时采用牌号为CKT的10—15% 有机硅橡胶溶液，或者是聚异丁烯溶于甲苯，或汽油中的溶液<sup>[10]</sup>。

在采用有机硅橡胶溶液和聚异丁烯溶液时，模子内壁清洗去油后在60—70°C的烘箱中保温，然后用溶液刷洗，并放入80—90°C的烘箱内1—2小时(至完全烘干)。这种处理要作两次。当

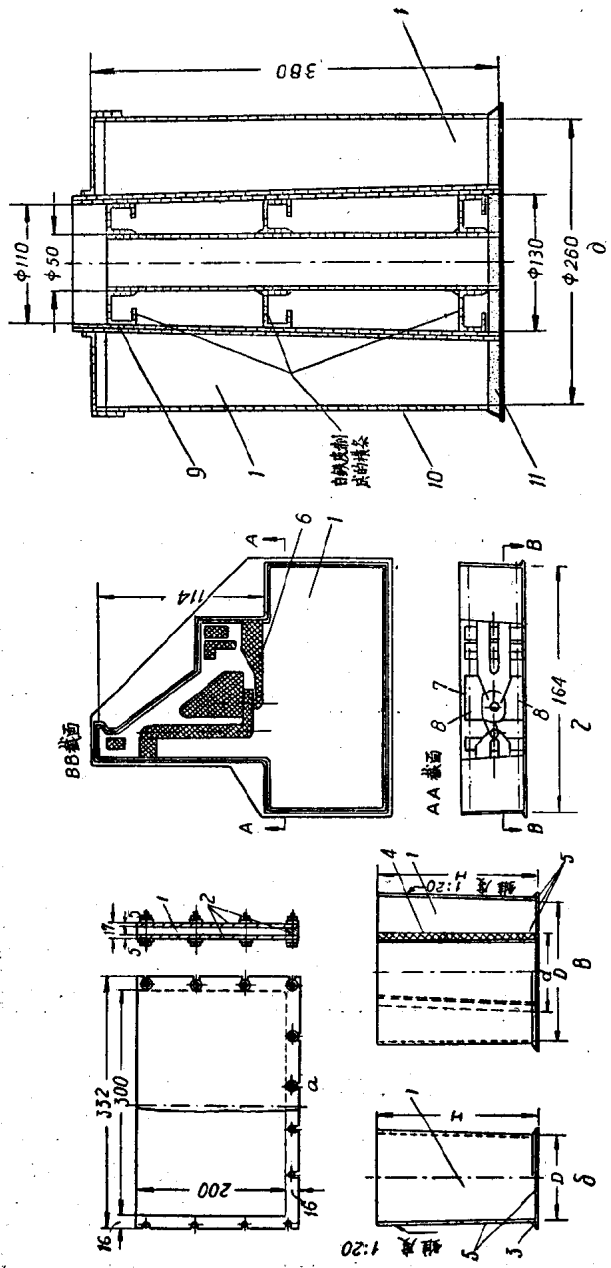


图1 铸造3T-6树脂平板和块体用的模子

- a—铸造透明平板的模子； 6—铸造壳心块体的模子； 2—铸造具有封閉內腔模型的模子；
- b—铸造较大筒形的模子。
- 1—注入3T6-M材料的空间； 2—红铜； 3—焊接头； 4—5—10毫米厚的海棉模皮； 5—保证树脂脱开的覆盖层； 6—可变硬的酚醛胶层； 10—白铁皮模子； 11—两层三乙酸甘油脂薄膜； 9—模型加工表面； 8—铸造的凸； 7—熔解的凹。

烘烤模子时不应把烘箱门关闭，以免溶媒蒸汽发生燃烧。

可用新鲜的0.5—1%的三乙酸甘油脂胶片溶于纯丙酮（化学纯）的溶液涂玻璃表面。将去油的玻璃浸没在溶液中，然后在室温下风干；这样处理重复两次。在干燥后形成极薄的三乙酸甘油脂薄膜，这层薄膜并不影响玻璃表面的平整，同时也足以防止树脂与玻璃的粘结。

涂任一种溶液的工作都应在通风橱内进行。

**材料的制造** 把桶中的树脂9Л-6用烘箱或水浴加热到70—80°C，取需要数量倒入瓷的、玻璃的或白铁皮的容器中。把预先秤好的失水苹果酸酐在封闭的涂釉容器内利用煤气炉熔解。待失水苹果酸酐全部熔解后（在51°C），立即很快地将其倒入预热的树脂中，并小心地搅拌。经过5—7分钟的搅拌后，将材料倒入热至60—70°C的模子里。把注有树脂的模子用盖子盖好，随后放到40°C的烘箱中硬化。

处理树脂及失水苹果酸酐的所有工作，必须在通风橱中进行；要戴胶皮手套。在制造大块铸件时，若通风橱不能保证充分的防护作用时（由于失水苹果酸酐蒸汽的作用，立即能引起鼻子和眼睛粘膜的损伤）应利用防毒面具。

**聚合** 环氧树脂和失水苹果酸酐在聚合（硬化）过程中放出热，遇到颜色很暗的树脂时（是由低质量原料制成的），在其与失水苹果酸酐混合之后，不再加热即可使块体内部温度增至100°C，经过两小时即可硬化。纯环氧树脂（浅棕色、透明）与失水苹果酸酐混合后，在烘箱中逐渐升温下进行硬化。当烘箱升温过快时，反应时放出的热会使块体内温度升得过高。可以采用130°C作为材料允许温度的上限。

作为例子，图2，a和б给出了二个块体材料在1.5昼夜期间聚合时外部及内部温度状态的图形，其内部温度升到140°C。这样得到的材料发脆，也不透明。这两个块体如在较长的时间下（经过四昼夜）硬化，则便能获得很好的材料。应当极力设法使块体内部得到较平缓的温度状态，尤其是大块体。为此在材料形成胶状

之前，必須使鑄块保持在55—60°C，并且只有在形成胶状后烘箱才开始升温。

为得到坚固透明的光学灵敏材料，聚合速度必须用烘箱的温度加以控制，使得鑄块内部的温度（用热电偶测量）缓慢上升，并且不要超过上限温度130°C。材料聚合的最好温度，不仅与采用的树脂性质有关，而且与块体尺寸也有关系，尺寸增大时聚合过程应

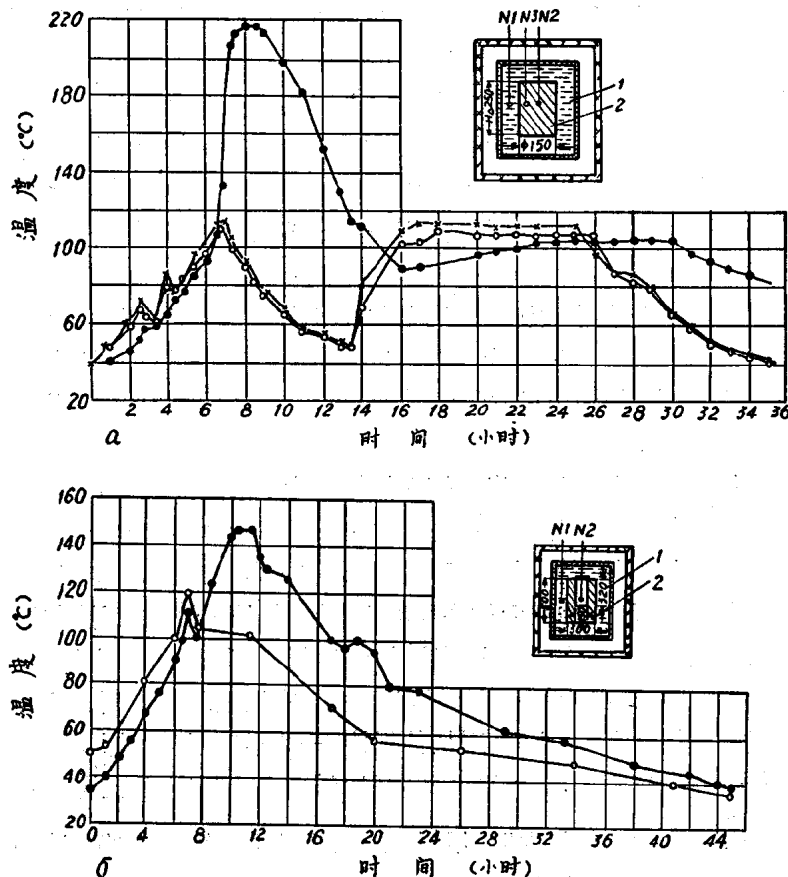


图2 大块体在聚合时的温度状态曲线

a——圆柱試件，直径150毫米，高250毫米。

b——杯狀試件，外徑300毫米，內徑130毫米，高度500毫米。

該加長。

對純樹脂 $\Theta\Delta-6$ 材料的硬化，烘箱內的大致溫度控制可以推薦如下：

1. 厚度達到10毫米的板子：溫度從 $50^{\circ}\text{C}$ 在9小時內平緩升至 $100^{\circ}\text{C}$ ；在 $100^{\circ}\text{C}$ 保持6小時；在12小時內從 $100^{\circ}\text{C}$ 平緩降到 $25^{\circ}\text{C}$ 。

2. 大塊體（直徑達到300毫米）：在 $50^{\circ}\text{C}$ 使材料保持到膠狀（約兩昼夜）；從 $50^{\circ}\text{C}$ 以每小時 $5^{\circ}$ 的速度升溫到 $80^{\circ}\text{C}$ ；在 $80^{\circ}\text{C}$ 保持2小時；再從 $80^{\circ}\text{C}$ 以每小時 $5^{\circ}$ 的速度升溫到 $100^{\circ}\text{C}$ ；在 $100^{\circ}\text{C}$ 保持24—36小時；再從 $100^{\circ}\text{C}$ 以每小時 $5^{\circ}$ 升到 $120^{\circ}\text{C}$ ；在 $120^{\circ}\text{C}$ 保持10—12小時；然後從 $120^{\circ}\text{C}$ 按每小時 $2.5^{\circ}\text{C}$ 降溫到 $50^{\circ}\text{C}$ 。烘箱停止給熱使材料冷至室溫。整個過程延續將近6—7昼夜。

在硬化過程中烘箱的溫度允許在 $\pm 10^{\circ}$ 的限度內變動。為了使整個體積內的溫度更為均勻，以及使溫度隨時間的改變更為平緩，可在油槽中[在“瓦波爾油”（валор）<sup>1)</sup>中]攪動油的情況下進行硬化。

**退火**  從模子取出的板和塊體，為了消除其殘余應力及穩定材料性能要經過退火。在退火之前，將板邊切去5毫米，塊體表層（外皮）切去的厚度不要小於3毫米。在烘箱中退火時，把板平放在玻璃上，塊體的寬面放在玻璃上（最好將塊體浸在“瓦波爾油”中）。對於平板，烘箱中的溫度按每小時 $50^{\circ}\text{C}$ 升溫，對於大塊體按每小時 $10^{\circ}\text{C}$ 升溫。為達到材料完全熱透，在溫度 $130^{\circ}\text{C}$ 時，對平板來說要保持0.5—2小時，對塊體保持1—6小時，具體時間視板及塊體的殘余應力大小、外形及其體積而定。降溫應比升溫慢，慢到 $\frac{1}{2}$ — $\frac{1}{3}$ 。在大塊體退火時，用鋸齒形式降溫是有益的，這樣能使塊體不同點的溫差減小。

**機械加工**  由 $\Theta\Delta-6-\text{M}$ 製成的板和塊體，和由其他光學敏感

<sup>1)</sup> 瓦波爾油是一種過熱汽缸油——譯者注。

材料制成的板及块体，用相同的方法进行加工；象用手锯、车削、铣、钻孔、研磨和抛光等。硬化了的 $\Theta\Delta-6$ -M 材料，用这些方法可以很好加工。

**粘結** 按照莫斯科塑料研究所的推荐，模型各部件的粘結，可用由环氧树脂 $\Theta\Delta-6$  或 $\Theta\Delta-5$  与硬化剂多胺聚乙烯（重量是树脂的6.5%）的合成物来粘結，此合成物在室温下硬化。用环氧树脂作成的胶在工业上已广泛采用，这种胶具有很高的强度，并且在粘結时也不需要加很大的压力。为使树脂較稀，可以加 10% 的丙酮。

冷硬化的粘接縫，經研究后指出它不产生初始光学效应，并且其断裂强度极限为 100—150 公斤/厘米<sup>2</sup>。热硬化粘接縫在断裂强度极限为 300—350 公斤/厘米<sup>2</sup>时，在模型粘縫附近产生初始光学效应，其值为 1 厘米厚的模型产生 1 級条紋。

在粘結处用丙酮或酒精擦洗。在热硬化情况下，将模型部件的粘結表面热至 60°C，在此表面上涂以同温度的液体胶层。被粘結部件用重物压住，并在 120°C 下保持 5—24 小时（随粘結部件的厚度而定）。在冷硬化情况下，涂胶的表面，在室温下保持到“脱胶”，然后再涂第二层，并重新使表面保持到“脱胶”，然后用重物或螺旋卡具使它们彼此压紧（压力 3—5 公斤/厘米<sup>2</sup>），并在室温下保持 24—36 小时。为提高粘縫的强度，粘接的部分在温度 50°C 下經過 2 小时的热处理是有好处的。

鑄出的块体或模型，当硬化时在其表面形成一层厚度小于 1.0—0.5 毫米的表皮，其性质与材料的其余部分有一些区别；从表皮到材料内部性质的轉变是逐渐的。这层表皮影响到材料的初应力及材料的退火。从块体边缘切下尺寸为 140×30×7 毫米的試件（試件 A），經過實驗檢查，得到下列結果：当試件存在表皮时，在 135°C 經 6 小时退火之后，沿周界长边方向具有的干涉条紋从 3.0—3.5 級減低到 1.5—2.0 級；在試件中部条紋序数等于 1，实际上沒有改变，只是受力范围减小了。

从同一块体切出另一試件 B，在試件的长边铣去深度为 5 毫

米的一层。退火之前在試件的長邊深度为 7 毫米的附近观察有 2.5 級条紋，而在中間部分观测有 1 級条紋，并且受力範圍的寬度約为試件 A 的  $1/2$ 。在試件 B 中  $m=1$  的区域的縮小是由于将表皮銑去后在材料內部引起应力的重新分配，而在边缘有較高的条紋是由于銑切时燒灼所致。試件 B 与試件 A 同时退火之后，其边界上的条紋降到 1.5 級，此时  $m=1$  的条紋是在距边缘 0.5 毫米的距离处出現，这就是在加热时， $\Theta\Delta 6\text{-M}$  材料表面出現的边缘效应。模型内部的条紋降到 0.7 級。

由上面所述可以得出：退火之前应适当地进行表面加工，因此在模子中鑄造模型时需要在表面給出 5—10 毫米的余量，此余量在以后机械加工时切去。

### $\Theta\Delta 6\text{-M}$ 材料的性能

依靠改变失水苹果酸酐的成分，使由环氧树脂制造的光学灵敏材料的彈性模量在不大的范围内(到 1:2)改变是可能的。彈性模量較大幅度的改变可以在原成份中附加隣苯二酸二丁脂来达到，这可使彈性模量及“质量系数”降低。研究指出，含有 40% 的隣苯二酸二丁脂的材料在室温时和橡皮类似。

**光学-力学性质** 材料  $\Theta\Delta 6\text{-M}$  满足在光学法研究应力时对于平面和立体模型材料所提出的基本要求。它具有下列性质：力学各向同性及均匀性；必要的透明度(对于散光法要用专门的方法淨化原料)；在室温及“冻结”时有很高的光学灵敏性以及应力、变形和干涉条紋之間有綫性关系；当室温时，板和块体的时间边缘效应极不显著，在“冻结”时此效应也很小；并且其初始光学效应也很小；具有高的“质量系数”；很好的机械加工性能。此外，材料  $\Theta\Delta 6\text{-M}$  的机械的和光学的蠕变也比較小。它与其他型号的材料相比，在下列性质上具有根本的优点：有可能制成大尺寸板和块体；在室温下經較长的时间有較小的边缘效应；利用鑄造或粘結可以制造复杂形状的模型，甚至在光学机械性质稳定的情况下还能粘結具有不同彈性模量的部件。

材料 9Д6-М 在空气內冻结时，具有实际允許的時間邊緣效应，在甘油內冻结时，時間邊緣效应在 10 毫米厚度內可以降低到 0.5 級條紋。

9Д6-М 在 60—70°C 时是彈性材料。溫度从 60°C 到 110—120°C 时，在抵抗变形的能力有很大降低的情形下，其变形具有塑性性质。当溫度在 120—150°C 时材料又重新变为彈性的，但纵向彈性模量約降到室温时的 1/100。在溫度高于 180—200°C 时树脂成为类似橡皮的材料（在达到分解溫度 300—320°C 之前）。对材料的上述評价是根据在模型和試件上完成的材料光学-力学性质的研究而作出的。下面給出研究的結果。

照射模型时为了得到必須的光学效应（干涉條紋序数  $m$ ），用于光学方法决定应力的彈性模型材料的比例极限（ $\sigma_{m_0}$ ）应足够高。

在室温时力学比例极限（ $\sigma_{m_0, \text{mech}}$ ）及强度极限（ $\sigma_b$ ）的数值是由悬臂弯曲試件的試驗得到的（跨度、截面的高度、厚度在加工后是  $100 \times 12 \times 7$  毫米）。在鋸試件之前，应在  $120^\circ\text{C}$  下經過 0.5—1 小时的退火。分阶段給悬臂試件增加載荷，使最大应力每次增加約为 50 公斤/厘米<sup>2</sup>。加載 3 分钟以后讀出條紋序数及撓度值。当悬臂端的撓度（用指示器測量）与線性关系偏離 3% 时，所对应的应力定为力学比例极限（图 3 的曲綫 I 是在溫度  $20^\circ\text{C}$  下的）。弯曲强度极限是由試件破坏的弯矩（考虑了力臂的改变）按最大应力公式来确定的。从 9Д6-М 材料若干試件的試

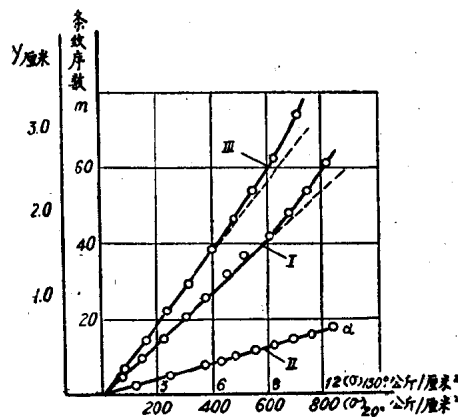


图 3 弯曲試件时條紋序数  $m$  和撓度  $y$  与最大应力  $\sigma$  间的关系  
 I—— $20^\circ\text{C}$  时的  $\sigma$ - $y$  曲綫； II—— $120^\circ\text{C}$  时的  $\sigma$ - $y$  曲綫。  
 III—— $20^\circ\text{C}$  时的  $m$ - $\sigma$  曲綫。  
 ( $\alpha$ ——試件断裂)

驗得到的这些值为:  $\sigma_{\text{пп.мех}} = 380 - 430$  公斤/厘米<sup>2</sup>,  $\sigma_b = 1300 - 1500$  公斤/厘米<sup>2</sup>.

图 3 的曲綫 II 給出了最大应力与最大撓度間的关系, 这一关系指出在“冻结”温度下  $\sigma_{\text{пп.мех}} = \sigma_b = 12 - 14$  公斤/厘米<sup>2</sup>.

在室温下, 材料的彈性模量  $E$  和泊松系数  $\mu$  是用标距 10 毫米的机械式变形計卡在悬臂弯曲試件上測量变形求得的:

$$E = ns \frac{\sigma}{\Delta_{\text{прод}}}; \quad \mu = - \frac{\Delta_{\text{поп}}}{\Delta_{\text{прод}}};$$

此处  $n$  及  $s$  分別是变形計的放大比例尺及标距 ( $ns \approx 10^4$ );  $\sigma = \frac{M}{W}$  是在变形計标距中間的截面 (距固定端 15 毫米) 按弯矩計算的最大应力;  $\Delta_{\text{прод}}$  和  $\Delta_{\text{поп}}$  分別是沿着試件纵向和横向安装的变形計讀數的增量.

由材料 ӨД6-М 的若干試件 (失水苹果酸酐的含量为树脂重量的 30%) 得到:

在室温下  $E = (3.3 - 3.5) \times 10^4$  公斤/厘米<sup>2</sup>,  $\mu = 0.38$ .

在“冻结”温度下  $E = 260 - 300 \times 10^4$  公斤/厘米<sup>2</sup>,  $\mu = 0.5$ .

在“冻结”温度时, 在烘箱中, 根据两端簡支、中部受載荷的弯曲試件的撓度找出的  $E$  值和根据沿軸綫受压圓盤<sup>[8]</sup>的冻结模型測量其直徑改变找到的  $E$  值, 也都在上述範圍之内. 泊松系数是在“冻结”的悬臂梁上測量其纵向及横向变形求得的.

当变形在彈性极限以內时, 模型材料的光学灵敏性是由常数  $\sigma_0^{(1.0)}$  或  $\varepsilon_0^{(1.0)} = \frac{1 + \mu}{E} \sigma_0^{(1.0)}$  来表示的. 它們分別是厚度  $t = 1.0$  厘米的模型出現 1 級干涉条紋时的正应力及綫应变 (当单向受力状态时). 当已知  $\sigma_0^{(1.0)}$  或  $\varepsilon_0^{(1.0)}$ 、被测点的模型厚度  $t$  和干涉条紋序数  $m$  时, 該点主应力差和变形差为

$$\sigma_1 - \sigma_2 = \frac{\sigma_0^{(1.0)}}{t} m; \quad \varepsilon_1 - \varepsilon_2 = \frac{\varepsilon_0^{(1.0)}}{t} m.$$

数值  $\sigma_0^{(1.0)}$  和  $\varepsilon_0^{(1.0)}$  是在室温和“冻结”温度时用承受載荷的純弯曲試件确定的. 材料 ӨД6-М 的光学比例极限  $\sigma_{\text{пп.опт}}$  的数值用逐

漸加載的方法找到，其值相當於“條紋序數  $m$ -應力  $\sigma$ ”之間的關係偏離直線 3% (圖 3, 20°C 時的曲線 III)時的最大應力。

材料 9Д6-М 的  $\sigma_{\text{пп.мех}}$  和  $\sigma_{\text{пп.опт}}$  值在室溫時也象在凍結溫度時一樣，實際上是一致的。由材料 9Д6-М 的若干試件得出應力光學常數<sup>1)</sup>：在室溫時， $\sigma_0^{(1.0)} = 10 - 11$  公斤/厘米，在“凍結”溫度時，

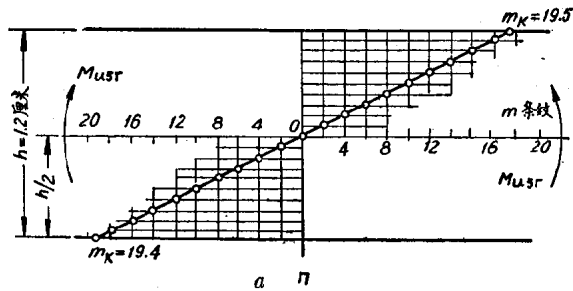
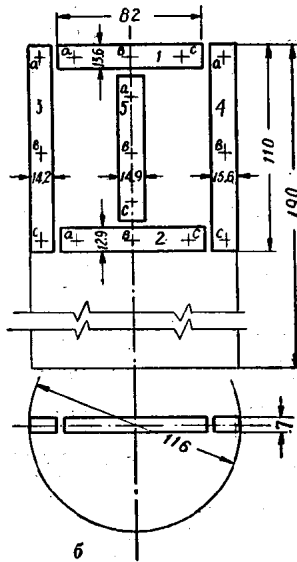


图 4a 純彎梁橫截面的條紋圖；最大應力  $\sigma = 300$  公斤/厘米<sup>2</sup>；材料  
條紋值  $\sigma_0^{(1.0)} = 10.5$  公斤/厘米；彎矩  $M_{w3r} = 52.5$  公斤-厘米。



$\sigma_0^{(1.0)} = 0.30 - 0.34$  公斤/厘米；变形光学常数：在室温时， $\varepsilon_0^{(1.0)} = (0.40 - 0.45) \times 10^{-3}$ ，在“冻结”温度时， $\varepsilon_0^{(1.0)} = (1.6 - 1.9) \times 10^{-3}$ 。

对拉压应力来说  $\sigma_0^{(1.0)}$  值是一样的，这可由条纹图（图 4）来说明，该图是由塑料 9Д6-М 制成的截面为  $12.0 \times 6.0$  毫米的梁在纯弯下得到的。

材料的光学蠕变，即在常载荷下表现出来的条纹序数随时间的增长，当应力在弹性范围内时是很小的（图 5）。模型加载后，经过足够的时间间隔（5 分钟或更多些）后读出条纹序数，发现  $\sigma_0^{(1.0)}$  保持常数（图 5 中向右倾斜的虚线）。

#### 材料的“质量系数”

$$K = \frac{E}{\sigma_0^{(1.0)}} \cdot 10^{-3} = \frac{1 + \mu}{\varepsilon_0^{(1.0)}} \cdot 10^{-3}$$

是在“冻结”时为得到必须的光学效应对于模型变形程度的估计。9Д6-М 在“冻结”时  $K = 0.88$ ，在室温时  $K = 3.1$ 。

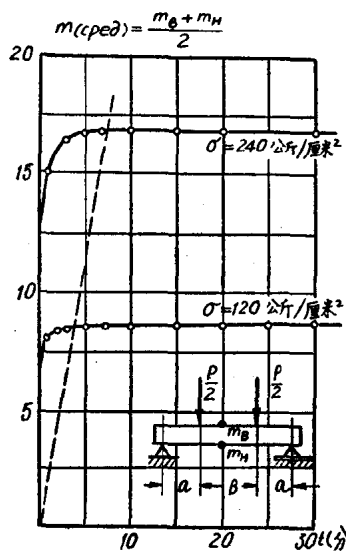


图 5 纯弯曲试件上下边缘干涉条纹  $m_p$  随载荷作用延续时间的改变

“冻结”温度  $t_{зам}$  是由观察梁试件上条纹图的改变来决定的，当模型承受载荷后，立即达到其全部变形时的最低加热温度作为冻结温度。对于材料 9Д6-М 可以取  $t_{зам} = 120^{\circ}\text{C}$ 。按“冻结”法处理时，将模型加热到“冻结”温度，或略超过它  $5 - 10^{\circ}\text{C}$ 。由材料 9Д6-М 制成的模型在“冻结”时加热温度不应超过  $140^{\circ}\text{C}$ 。

材料 9Д6-М 在“冻结”时的光学-力学性质与失水苹果酸酐的含量有关。在室温下的弹性模量，在所有情况下保持不变（参看表 1）。

当失水苹果酸酐的含量少于 20% 时，树脂在整个体积内不硬

表 1

硬化剂(失水苹果酸酐的含量, %)	弹性模量 $E$ (公斤/厘米 <sup>2</sup> )	材料条纹值 $\sigma_0^{(1.0)}$ (公斤/厘米)	$\frac{E}{E_{30\%}}$	“质量系数” $K$
20	170	0.28	0.57	0.60
30	300	0.28	1	1.07
40	240	0.32	0.80	0.75

化, 得到一种脆性材料, 在加温时部分熔解。当失水苹果酸酐的含量高于 40% 时, 材料的脆性也增大。

硬化状态与失水苹果酸酐的含量仍然无关。在所采用的成份下, 弹性模量并没有较大的差别。其他光学-力学性质的差别也很小, 并且这些性质十分稳定。

材料 9Д6-М 的板及块体在力学及光学性质方面具有了必要的均匀性。

平均数值是:  $\sigma_0^{(1.0)} = 10.7$  公斤/厘米;  $E = 2.94 \times 10^4$  公斤/厘米<sup>2</sup>;  $E_6 = 14.4$  公斤/厘米<sup>2</sup>;  $\sigma_0^{(1.0)}$ ,  $E$  和  $E_6$  的最大偏差分别是 3%, 7% 和 18%。

材料 9Д6-М 的主要物理常数如下:

比重	1.20—1.25 克/厘米 <sup>3</sup>
折射率	1.65—1.60
每差 1°C 的温度膨胀系数	
(在 20—100°C 时)	$52 \times 10^{-6}$
马尔金斯热稳定性	100

时间边缘效应是一系列材料在应用光学方法时的根本缺点, 由于时间边缘效应在不受载荷的模型的边缘上能观察到干涉条纹。在光学材料中, 在室温下模型制出后的最初几小时内就形成边缘干涉条纹; 并且随时间的增长, 干涉条纹从模型边缘向深度方向发展。在“冻结”时, 边缘效应是在模型加温时及模型冷却时形成的, 而主要是在冷却时形成的。

用 9Д6-М 材料作成的模型, 在室温下的时间边缘效应很小, 在模型制造后的头两天里, 实际没有边缘效应。当在空气中“冻